

Р. Н. ОВАКИМЯН

О НАГРУЗКАХ НА ЦИЛИНДРИЧЕСКУЮ ОБОЛОЧКУ В ЭЛЕКТРОМАГНИТНОМ ПОЛЕ

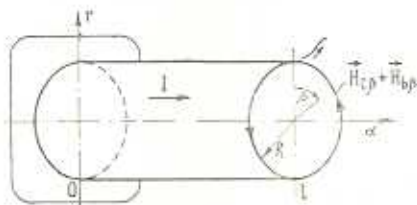
Оболочки, широко применяемые в качестве несущих конструкций в различных магнитогазодинамических аппаратах, особенно в плазменных и дуговых ракетных двигателях, часто используются и как проводники тока.

В этом случае большие токи, необходимые для эффективной работы МГД-двигателей, непосредственно подводятся к рабочему телу-плазме через оболочку, обладающую хорошей проводимостью. Вследствие выделения джоулева тепла и соответствующего повышения температуры токонесущей оболочки, а также действия пондеромоторных сил, особенно интенсивных при наложении сильных магнитных полей для управления плазмой, напряжения в оболочке могут достигнуть значительной величины. Таким образом, развитие космического двигателестроения требует всестороннего исследования напряженного состояния тонкостенных конструкций, находящихся под действием нагрузок электромагнитного характера.

В настоящей статье сделана попытка в рамках теории упругих оболочек определить выражения нагрузок, действующих в электромагнитном поле на круговую цилиндрическую оболочку.

Рассмотрим оболочку в системе a, β, r . Обозначим через R радиус срединной поверхности, h — толщину, $R + \frac{h}{2} = a$ — внешний

радиус, $R - \frac{h}{2} = b$ — внутренний ра-



Фиг. 1.

диус оболочки. Выберем начало координат на левом краю оболочки, а ось α совместим с осью оболочки (фиг. 1). Предполагаем, что материал оболочки изотропен, магнитные свойства также одинаковы по всем направлениям. Процесс считаем установившимся.

Пусть в направлении α протекает постоянный электрический ток силы $\tilde{I} = \int_S \tilde{j} dS$, где \tilde{j} — плотность тока, а интеграл берется по

всему поперечному сечению оболочки S . Определим температуру нагрева и пондеромоторную силу, действующую на токонесущую оболочку.

1. Температура нагрева

Количество тепла q_v , выделяемое в единице объема проводника при протекании тока плотности j , по закону Джоуля-Ленца равно

$$q_v = j^2 \rho \quad (1.1)$$

где ρ — удельное электрическое сопротивление. Для металлических проводников зависимость ρ от температуры имеет следующий вид:

$$\rho = \rho_0 [1 + \alpha_s (t - t_0)] \quad (1.2)$$

где α_s — температурный коэффициент удельного сопротивления ($\alpha_s = \text{const}$), t ($^{\circ}\text{C}$) — температура нагрева оболочки, ρ_0 — значение удельного сопротивления при начальной температуре t_0 ^{*}.

В общем виде дифференциальное уравнение теплопроводности при наличии равномерно распределенных источников тепла q_v с учетом (1.1) и (1.2) будет следующим:

$$\operatorname{div} \cdot \operatorname{grad} t + j^2 \rho_0 [1 + \alpha_s (t - t_0)] = 0 \quad (1.3)$$

где κ — коэффициент теплопроводности.

Для цилиндрической формы металлических проводников в диапазоне температур, при котором еще сохраняются упругие свойства материала оболочки, с погрешностью порядка $\frac{h}{R} \ll \frac{1}{20}$, принятой в теории оболочек [1], можно считать, что

$$\kappa \approx \kappa_0 = \text{const}, \quad S = S_0 [1 + 2\alpha_l (t - t_0)] \approx S_0 = \text{const}, \quad j \approx \frac{I}{S_0} = \text{const} \quad (1.4)$$

где α_l — температурный коэффициент линейного расширения ($\alpha_l = \text{const}$).

На основании (1.4) в (1.3) $\frac{\partial}{\partial r} = 0$, $\frac{\partial}{\partial z} = 0$. Перепишем уравнение теплопроводности (1.3) в следующем виде:

$$\frac{d^2 t}{dr^2} + \frac{1}{r} \frac{dt}{dr} + k^2 \left(t - t_0 + \frac{1}{\alpha_s} \right) = 0 \quad (1.5)$$

где $k = j \sqrt{\frac{\rho_0 \alpha_s}{\kappa_0}} = \text{const}$. Общее решение уравнения Бесселя (1.5) при $b < r < a$ будет

$$t = t_0 - \frac{1}{\alpha_s} + C_1 J_0(kr) + C_2 Y_0(kr) \quad (1.6)$$

где $J_n(z)$ — функция Бесселя n -го порядка 1-го рода, $Y_n(z)$ — функция Вебера n -го порядка, C_1 и C_2 — постоянные, определяемые из граничных условий.

* Индекс „0“ снизу соответствует параметрам оболочки при t_0 .

Имеем следующие граничные условия:

1) на внешней поверхности оболочки ($r = a$) происходит теплообмен с окружающей средой по закону Ньютона-Рихмана

$$-\lambda_0 \frac{dt}{dr} \Big|_{r=a} = h_t(t - t_\infty) \Big|_{r=a}$$

где постоянная h_t — коэффициент теплообмена, вычисляемый отдельно для каждого конкретного случая, например, по методу [2], а t_∞ — температура окружающей среды. Не уменьшая общности, примем $t_\infty = t_0$;

2) на внутренней поверхности оболочки ($r = b$) примем, что теплообмен отсутствует и

$$\frac{dt}{dr} \Big|_{r=b} = 0$$

Определив при этих граничных условиях C_1 и C_2 и подставив их значения в (1.6), получим для температуры срединной поверхности ($r = R$) следующее выражение:

$$t = t_0 + \left\{ \frac{J_1(kb) Y_0(kR) - Y_1(kb) J_0(kR)}{|J_1(kb) Y_0(ka) - Y_1(kb) J_0(ka)| - \frac{k\lambda_0}{h_t} |J_1(kb) Y_1(ka) - Y_1(kb) J_1(ka)|}} - 1 \right\}_{x_3} \frac{1}{x_3} = \text{const} \quad (1.7)$$

В большинстве практических случаев $ka < 1$, что дает возможность ограничиться только первыми двумя членами рядов, представляющих функции Бесселя и Вебера при $n = 0$ и 1. Тогда, не приводя здесь громоздких вычислений, формулу (1.7) можно представить в следующем виде:

$$t = t_0 + \frac{I^2 \beta_0}{4\pi^2 R^2 h h_t - I^2 \beta_0 x_3} = \text{const} \quad (1.8)$$

Заметим, что коэффициент теплопроводности λ_0 явно не входит в (1.8), но при оценке порядка величины k значение λ_0 принималось во внимание.

2. Пондеромоторная сила

Элементарный объем проводника, по которому протекает ток плотности \vec{j} , испытывает в магнитном поле \vec{H} пондеромоторную силу \vec{f} , равную

$$\vec{f} = |\vec{j}, \vec{B}| \quad (2.1)$$

где \vec{B} — магнитная индукция. В статье применяется система единиц

СИ, так что $\vec{B} = \mu \mu_0 \vec{H}$, где $\mu_0 = 4\pi \cdot 10^{-7} \frac{\text{н}}{\text{А}}$ — магнитная проницаемость вакуума, μ — относительная магнитная проницаемость. Для проводников $\mu \approx 1$ (ферромагнитные материалы не рассматриваются). В общем случае \vec{H} есть напряженность магнитного поля, созданного как посторонними источниками, так и самим током, на который эта сила действует, т. е. $\vec{H} = \vec{H}_a + \vec{H}_c$. Собственное магнитное поле \vec{H}_c можно определить по уравнениям Максвелла

$$\operatorname{div} \vec{B}_c = 0, \quad \operatorname{rot} \vec{H}_c = \vec{j} \quad (2.2)$$

Решив (2.2) с учетом (1.4), получим для срединной поверхности следующие значения проекций \vec{H}_c на оси координат z, β, r :

$$H_{cz} = H_{cr} = 0, \quad H_{c\beta} \approx -j \frac{h}{2} \approx -\frac{I}{4\pi R} = \text{const} \quad (2.3)$$

Полное значение напряженности магнитного поля \vec{H} будет

$$\vec{H} = H_{cz} \vec{e}_z + (H_{c\beta} + H_{cr}) \vec{e}_\beta + H_{cr} \vec{e}_r \quad (2.4)$$

где $\vec{e}_z, \vec{e}_\beta, \vec{e}_r$ — единичные орты-векторы.

Подставив (2.4) в (2.1) с учетом (2.3) и приняв $\vec{B} = \mu_0 \vec{H}$, получим следующее выражение для \vec{j} :

$$\vec{j} = -\mu_0 \frac{I}{2\pi Rh} \left[H_{cr} \vec{e}_z - \left(H_{c\beta} - \frac{I}{4\pi R} \right) \vec{e}_r \right] \quad (2.5)$$

Заметим, что составляющая пондеромоторной силы в направлении тока всегда равна нулю.

3. Расчет напряженного состояния

В качестве примера рассмотрим часть конструкции магнитной коаксиальной ударной трубы (МКУТ), используемой в качестве ракетного двигателя [3]. Для создания сильного магнитного поля в азимутальном направлении в ударную трубку вставляется центральный проводник. Внешнее магнитное поле \vec{H}_a совпадает с направлением собственного магнитного поля \vec{H}_c .

Один торец ($z = 0$) закреплен полностью, а другой ($z = l$) совершенно свободен (фиг. 1). Собственный вес оболочки не учтываем.

Вследствие симметричности внешней нагрузки относительно оси z в уравнениях теории оболочек [4] $\frac{\partial}{\partial z^2} = 0$. В этом случае сразу можно считать, что кручение и сдвиг отсутствуют:

$$\varphi = \tau = 0, \quad v = 0, \quad H_{12} = H_{21} = 0, \quad S_{12} = S_{21} = 0 \quad (3.1)$$

В силу (3.1) с учетом (2.5) и (1.8) получаются следующие соотношения:

уравнения равновесия

$$T_1 = \text{const}, \quad \frac{T_1}{R} - \frac{dN_1}{dz} = f, h, \quad N_2 = 0, \quad \frac{dM_1}{dz} = N_1 \quad (3.2)$$

геометрические соотношения

$$\varepsilon_1 = \frac{du}{dz}, \quad \varepsilon_2 = \frac{w}{R}, \quad \gamma_1 = -\frac{d^2 w}{dz^2}, \quad \gamma_2 = 0 \quad (3.3)$$

физические соотношения

$$\begin{aligned} T_1 &= \frac{Eh}{1-\nu^2} (\varepsilon_1 + \nu \varepsilon_2) - \frac{Eh}{1-\nu} \alpha_f (t - t_0) \\ T_2 &= \frac{Eh}{1-\nu^2} (\varepsilon_2 + \nu \varepsilon_1) - \frac{Eh}{1-\nu} \alpha_f (t - t_0) \\ M_1 &= D(\gamma_1 + \nu \gamma_2), \quad M_2 = D(\gamma_2 + \nu \gamma_1) \end{aligned} \quad (3.4)$$

где

$$D = \frac{Eh^3}{12(1-\nu^2)}$$

Примем, что коэффициент Пуассона $\nu = \text{const}$, а модуль упругости E зависит от температуры следующим образом [5]:

$$E = E_0 [1 - \alpha_E (t - t_0)] \quad (3.5)$$

где α_E — температурный коэффициент упругости ($\alpha_E = \text{const}$).

Имеем следующие граничные условия:

$$\text{при } z = 0 \quad u = w = 0, \quad \varphi = \frac{dw}{dz} = 0 \quad (3.6)$$

$$\text{при } z = l \quad T_1 = N_1 = M_1 = 0 \quad (3.7)$$

Из первого уравнения (3.2) в силу (3.7) $T_1 = 0$ по всей длине оболочки.

Сведем систему уравнений (3.2) — (3.4) к одному обыкновенному дифференциальному уравнению 4-го порядка с постоянными коэффициентами

$$D \frac{d^4 w}{dz^4} + \frac{Eh}{R^2} w = \frac{Eh}{R} \alpha_f (l - t_0) + f, h$$

Общее решение этого уравнения будет

$$w = e^{mx} (D_1 \cos mx + D_2 \sin mx) + e^{-mx} (D_3 \cos mx + D_4 \sin mx) + \\ + R z_t (t - t_0) + \frac{f_r R^2}{E} \quad (3.8)$$

где $m = \frac{1}{\sqrt{R h}} \sqrt[4]{3(1-\nu^2)}$, а D_1, D_2, D_3, D_4 — постоянные, определяемые из граничных условий.

Будем считать, что длина оболочки l такова ($l > R$), что можно пренебречь членом $e^{ml} (D_1 \cos mx + D_2 \sin mx)$ при $x > 0$ [1] в уравнении (3.8) и

$$w = e^{-mx} (D_3 \cos mx + D_4 \sin mx) + R z_t (t - t_0) + \frac{f_r R^2}{E}$$

Заметим, что слагаемое, пропорциональное $e^{-mx} (D_3 \cos mx + D_4 \sin mx)$, с незначительной погрешностью следует принять равным нулю при $x = l$ для удовлетворения граничных условий (3.7).

Из граничных условий (3.6) находим, что $D_3 = D_4 = -R \left| z_t (t - t_0) + \frac{f_r R}{E} \right|$, и величина прогиба w будет выражаться следующим образом:

$$w = R \left| z_t (t - t_0) + \frac{f_r R}{E} \right| \left| 1 - \sqrt{2} e^{-mx} \cos \left(mx - \frac{\pi}{4} \right) \right| \quad (3.9)$$

Подставляя (3.9) в (3.2)–(3.4) с учетом (3.6), (3.7), получим остальные величины напряженного и деформированного состояния оболочки. В частности,

$$u = \left| z_t (t - t_0) - \frac{f_r R}{E} \right| z + \frac{\nu}{m} \left| z_t (t - t_0) + \frac{f_r R}{E} \right| (1 - e^{-mx} \cos mx) \quad (3.10)$$

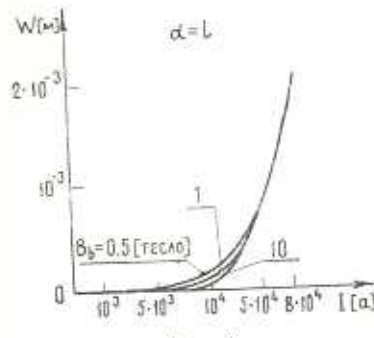
$$T_2 = Eh \left| z_t (t - t_0) + \frac{f_r R}{E} \right| \left| 1 - \sqrt{2} e^{-mx} \cos \left(mx - \frac{\pi}{4} \right) \right| - Eh z_t (t - t_0) \quad (3.11)$$

$$M_1 = \frac{Eh^2}{\sqrt{6(1-\nu^2)}} \left| z_t (t - t_0) + \frac{f_r R}{E} \right| e^{-mx} \sin \left(mx - \frac{\pi}{4} \right), \quad M_2 = \nu M_1 \quad (3.12)$$

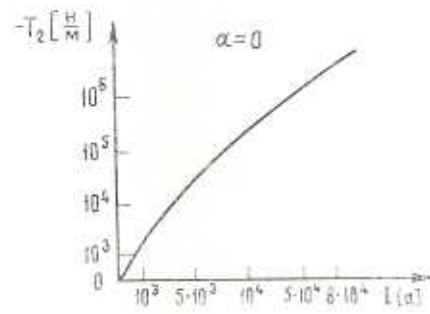
Влияние силы тока I на w и T_2 графически показано соответственно на фиг. 2, 3 при различных значениях напряженности внешнего магнитного поля H_{Bz} .

Например, медный цилиндр $R = 0.21$ [м], $\frac{h}{R} = \frac{1}{30}$, $I = 0.63$ [м] как часть конструкции действующей ударной трубы [3] с характе-

ристиками: сила тока $I_{\max} = 7.6 \cdot 10^4$ [а], внешнее магнитное поле $B_{\text{вн}} = \mu_0 H_{\text{вн}} = 1$ [тесла] при свободном теплообмене с атмосферным воздухом $t_0 = 0^\circ\text{C}$ нагревается до $t = 360^\circ\text{C}$. Температура в этом случае вычисляется по (1.8), причем коэффициент теплообмена $h_t = 33.4 \left| \frac{\text{дж.}}{\text{м}^2 \text{сек. град.}} \right|$ при высокой температуре является суммой коэффициентов конвективного $h_k = 7.4$ и лучистого $h_s = 26$ теплообмена. Все физические постоянные меди взяты по [5].



Фиг. 2.



Фиг. 3.

Пондеромоторная сила, вычисленная по (2.5), будет

$$\vec{f} = f_r \vec{e}_r = - \frac{I}{2\pi R h} \left(B_{\text{вн}} + \mu_0 \frac{I}{4\pi R} \right) \vec{e}_r = - 8.5 \cdot 10^6 \vec{e}_r \left| \frac{\text{Н}}{\text{м}^3} \right|$$

В заключение выражаю глубокую благодарность акад. Амбарцуману С. А. за постановку задачи.

Институт математики и механики
АН Армянской ССР

Поступила 15 VII 1966

Ред. Ч. ГРИГОРЯН

ԲԱԿԱՐԱՐՈՒՄԱԳՆԻՖԱՍԻԱՆ ԳՈՅՆԹՈՒՄ ԳՏՆՎՈՂ ԳԱԼԵՐԱՅԻ ԲԱՐԱԿԻԹԻ
ՎՐԱ Ա.ԶԵՐՈՎ ԲԵԼԵՐԻ ՄԱՍԻՆ

Ա մ բ ո վ ո ւ մ

Հոգվածում՝ առաջական թաղանթների տեսության սահմաններում, որոշված են հաստատուն էլեկտրական, մագնիսական դաշտերում գտնվող իզոտրոպ զանալին թաղանթի վրա ազդող պոնդերմոտորային ուժը և չոռուան շերժությունը:

Լուծված է այդ ուժերի ազդեցության առկ գանգող զանալին թաղանթի շերմային խնդիրը և հաշված են թաղանթում առաջացող տեղափոխութեարն ու ճիղերը:

Կառուցված էն դրամֆիլիներ թաղանթի հատվածային մեծությունների համար՝ կախված էլեկտրական հոսանքի ուժից, տարրեր մազնիսական դաշտերի զնագրում:

R. N. OVAKIMIAN

LOADS ON THE CYLINDRICAL SHELL IN THE ELECTROMAGNETIC FIELD

Summary

In the present paper the problem of determination of loads (heating and ponderomotor force) on the cylindrical shell placed in the electromagnetic field is considered.

ЛИТЕРАТУРА

- Гольденвейзер А. А. Теория упругих тонких оболочек. Гостехиздат, М., 1953.
- Шорин С. Н. Топлонередача. Госиздат, М.—Л., 1952.
- Ионные, плазменные и дуговые ракетные двигатели. Госатомиздат, М., 1961.
- Амбарцумян С. А. Теория анизотропных оболочек. Физматгиз, М., 1961.
- Кэй Дж., Лэби Т. Таблицы физических и химических постоянных. Физматгиз, М., 1962.